

アンダーソンモデルの熱的性質*

阪大工 川上 則雄

§1 はじめに

金属中の局在モーメントの生起の問題に対して提案されたアンダーソンモデルは近藤効果で代表される局所的な電子相関問題を具体的に取り扱えるモデルとして S-d モデル同様、熱力学的研究が為されてきた。またこのモデルは表面に吸着した原子の挙動や、希土類化合物の磁気強度問題等にも適用され、固体物理学の種々の分野に幅広く応用されている。ここではベーテ仮説の方法を用いて導入してからアンダーソンモデルの厳密な結果について、熱力学的性質を中心に紹介する。§2, 3 でベーテ仮説の方法、絶対零度の性質についてまとめを行い、§4 で熱力学的性質について議論する。§5 では軌道縮退の効果を調べてアンダーソンモデルの有限温度での取り扱いに触れるところにする。

§2 ベーテ仮説の方法

アンダーソンモデルは次のハミルトニアンド記述される。¹⁾

$$\mathcal{H} = \sum_{k,\sigma} E_k C_{k\sigma}^+ C_{k\sigma} + \sum_{k,\sigma} V_k [C_{k\sigma}^+ d_\sigma + d_\sigma^+ C_{k\sigma}] + E_d \sum_\sigma d_\sigma^+ d_\sigma + U d_\uparrow^\dagger d_\uparrow d_\downarrow^\dagger d_\downarrow. \quad (2-1)$$

ここで $E_k (E_d)$ は伝導電子(不純物軌道)のエネルギー、U は不純物原子内の電子間クーロン相互作用、 V_k は不純物レベルと伝導電子の状態を結ぶマトリックスエレメントである。このハミルトニアンドに対して ① $V_k = V$ (k -dependence なし) という条件を付加すると、伝導電子の S 波成分のみが散乱されることになり、S 波の性質から問題が一次元に帰着される。さらにフェルミ面附近で状態密度一定、即ち ② $E_k = k$ (エネルギーレベルをエネルギー原点として選ぶ) という条件の下では、不純物問題を均一系の問題に焼き直すことができ、一次元均一系に用ひられておりベーテ仮説の方法がアンダーソンハミルトニアンド (2-1) に適用可能となる。²⁾ その結果、アンダーソンハミルトニアンドに対して、ベーテ仮説の方法に特有な形の基礎方程式が次の様に導かれる。²⁾

$$\exp(i k_j L) = \prod_{\beta=1}^M \frac{i B(k) - i \Lambda_\beta - UV^{1/2}}{i B(k) - i \Lambda_\beta + UV^{1/2}} \cdot \frac{k_j - E_d + iV^{1/2}}{k_j - E_d - iV^{1/2}}, \quad j=1 \sim N,$$
$$- \prod_{j=1}^N \frac{i B(k_j) - i \Lambda_\alpha + UV^{1/2}}{i B(k_j) - i \Lambda_\alpha - UV^{1/2}} = \prod_{\beta=1}^M \frac{i \Lambda_\alpha - i \Lambda_\beta - UV^2}{i \Lambda_\alpha - i \Lambda_\beta + UV^2}, \quad \alpha=1 \sim M, \quad (2-2)$$

ここで $B(k) = k(k-U-2E_d)$ 、L は系の長さ、N(M) は全電子数(下向チスピオン電子数)である。この場合、系の全エネルギーは上記の方程式の解 k_j を用いて $E = \sum k_j$ と表わされ、また全スピオンの玉成分は $S_z = \frac{1}{2}(N-2M)$ で与えられる。 k_j は quasi-momentum と呼ばれる量で、普通の意味での momentum とは異なり、 k_j の中に相互作用の効果が取り込まれている ($U \rightarrow 0$ の時すく k_j は momentum の意味を持つ)。 Λ_α はスピオン波に因する quasi-momentum k 相当していふ。

§3 絶対零度の性質^{3), 4)}

この節では絶対零度の性質について簡単なまとめを行う。(2-2)式で与えられる k_j^\pm の解の中でエネルギー的に一番低い状態を検すると、 $B(k_\alpha^\pm) = \Lambda_\alpha \pm iUV^2/2$ (Λ_α は実数) を満足する複素解 k_α^\pm が基底状態を構成する解であることがわかる。この k_α^\pm の解が (2-2) の方程式を満足していることは、 $\text{Im } k_\alpha^\pm \geq 0$ で場合分けを行ふ。(2-2) の \exp の発散収束を用いて容易にチェックできる³⁾。実数解 k_j はこの場合、磁場に関する励起状態を表わす解になり、2 つある。絶対零度の性質はこの 2 種類の解を用いて議論できるので、熱力学的極限を考える。 Λ_α, k_j の分布関数 $\sigma(\lambda), p(k)$ を導入すると、(2-2) より、 σ, p に関する積分方程式^{3), 4)}。

$$\begin{aligned} \sigma(\lambda) - \int_{-\infty}^a R(\lambda-\lambda') \sigma(\lambda') d\lambda' + \int_a^b Q(\lambda-B(k)) p(k) dk &= \sigma_s(\lambda), \\ p(k) + B'(k) \int_{-\infty}^b R(B(k)-B(k')) p(k') dk' + B'(k) \int_{-\infty}^a Q(\lambda-B(k)) \sigma(\lambda) d\lambda &= p_s(k), \end{aligned} \quad (3-1)$$

が得られる。但し $B'(k) = dB(k)/dk$, $R(x), Q(x)$ はフーリエ空間で $[1 + \exp(UV^2|w|)]^{-1}$, $\frac{1}{2} \operatorname{sech}(UV^2\omega/2)$ で与えられる関数であり、 σ_s, p_s は。

$$\sigma_s(\lambda) = \frac{1}{2\pi} \int_{-\infty}^{\infty} Q(\lambda-B(k)) \left[1 + \frac{1}{L} \frac{V^2}{(k-E_d)^2 + V^4/4} \right] dk,$$

$$p_s(k) = \frac{1}{2\pi} \left[1 + \frac{1}{L} \frac{V^2}{(k-E_d)^2 + V^4/4} \right] + \frac{B'(k)}{\pi} \int_{-\infty}^{\infty} \frac{(UV^2/2) \sigma_s(\lambda) d\lambda}{(B(k)-\lambda)^2 + (UV^2/2)^2},$$

で与えられる。 σ, p を $\sigma = \sigma^c + \sigma^i/\lambda$, $p = p^c + p^i/\lambda$ と書く。伝導電子と不純物からの寄与の部分に分けると、電荷及びスピントルミレベル a, b は。

$$\int_{-\infty}^a \sigma^c(\lambda) d\lambda = (U+2E_d)/2\pi, \quad \int_{-\infty}^b p^c(k) dk = H/2\pi \quad (H: \text{磁場}) \quad (3-2)$$

で決定され、局在電子数 n_d 、不純物部分の磁化 S_z は

$$n_d = 1 - \int_{-\infty}^a \sigma^i(\lambda) d\lambda, \quad S_z = \frac{1}{2} \int_{-\infty}^b p^i(k) dk \quad (3-3)$$

から求められることになる。

(3-1)～(3-3) を用いると絶対零度、任意磁場での種々の物理量が、 σ^i, p^i 等を用いて形式的に書き下せる。例えば不純物部分のエネルギー E^i 、導磁率 $X_m (\equiv dS_z/dH)$ 、電荷感受率 $\chi_c (\equiv -dn_d/dE_d)$ は^{3), 4)}

$$E^i = 2 \operatorname{Re} \int_a^b k_\alpha^+ \sigma^i(\lambda_\alpha) d\lambda_\alpha + \int_{-\infty}^b (k-H/2) p^i(k) dk, \quad (3-4a)$$

$$X_m = \frac{1}{4\pi} \left[C_a D_b p^i(b)/p^c(b) - C_b D_a \sigma^i(a)/\sigma^c(a) \right] / [C_a D_b - C_b D_a], \quad (3-4b)$$

$$\chi_c = \frac{1}{\pi} \left[C_a D_b \sigma^i(a)/\sigma^c(a) - C_b D_a p^i(b)/p^c(b) \right] / [C_a D_b - C_b D_a], \quad (3-4c)$$

$$\text{但し. } C_x = \left[(\partial/\partial x) \int_{-\infty}^a \sigma^c(\lambda) d\lambda \right] / \sigma^c(a), D_x = \left[(\partial/\partial x) \int_{-\infty}^b \rho^c(k) dk \right] / \rho^c(b), x=a,b.$$

(3-1), (3-4)を解析的に計算することは一般に困難であるが、対称アンターンモデル ($U=-2E_d$, 電気的中性の条件) で磁場が零の時は簡単に形に物理量が求まる。即ちこの場合 (3-4) 式は次の様な形になる。^{3), 4)}

$$[E_s^i - E_s^i(U=0)]/V^2 = \frac{1}{\pi} \operatorname{Re}(1+iu) \ln(1+iu) - \frac{1}{2\pi} \int_0^\infty dx \int_{-\infty}^\infty dy \frac{\sqrt{x} \operatorname{cosech}\pi(x+y^2)}{(y+\sqrt{u}/2)^2 + 1/4u}, \quad (3-5a)$$

$$\tilde{\chi}_m \equiv \pi V^2 \chi_m = \int_{-\infty}^\infty \frac{(1+u^2-4ux^2)e^{-\pi x^2} dx}{(1+u^2-4ux^2)^2 + 16u^3x^2} + \frac{\pi}{2\sqrt{u}} \exp\left[\frac{\pi}{4}(u-1/u)\right], \quad (3-5b)$$

$$\tilde{\chi}_c \equiv \pi V^2 \chi_c/4 = \int_{-\infty}^\infty \frac{(1+u^2+4ux^2)e^{-\pi x^2} dx}{(1+u^2+4ux^2)^2 - 16u^3x^2}, \quad u \equiv U/V^2 \quad (3-5c)$$

(3-5)が対称アンターンモデルの基本的物理量の厳密解である。これらの物理量を u でべき展開すると、山田によると得られていて擾動展開と一致した表式が出来る。⁵⁾ $u \gg 1$ の S-d 極限では、希望とする通り $\chi_c \rightarrow 0, \chi_m \rightarrow 1/(2\pi T_K)$ [$T_K = (\sqrt{UV^2}/\pi) \exp(-\pi U/4V^2)$] となり、S-d モデルの値に近づく。^{6), 7)}

非対称アンターンモデル ($U \neq -2E_d$) の場合も、 $H=0$ の時は Wiener-Hopf の方法を用いることにより、(3-1)を形式的に处理することができる。さもなく $U \gg |E_d|, V^2$ の極限では、この方法を用いて物理量を具体的に書き下せる。⁸⁾ 例えば $U \gg |E_d|, V^2$ の極限での近藤温度 T_K は

$$T_K = (\sqrt{UV^2}/\pi) \exp\left[\pi E_d(E_d+U)/UV^2\right], \quad (3-6)$$

と計算でき。⁹⁾ 今までに得られていて結果と一致する。^{9), 10)} またスケーリング則を用いて導いたかかえて E_d^* effective は不純分レベルの表式。¹¹⁾

$$E_d^* = E_d + (V^2/2\pi) \ln(1+eU/2V^2), \quad (3-7)$$

を得ることができる。 U, E_d, H が任意の値を取る場合、Wiener-Hopf の手法は適用できないがこの場合の物理量は数値的に求められている。⁴⁾ 絶対零度におけるこの他の物理量として局在電子数、磁化曲線、磁気抵抗等の計算も為されている。⁴⁾

§4 有限温度の性質¹²⁾⁻¹⁴⁾

絶対零度の性質は、複素解 $B(k_\alpha^\pm) = \Lambda_\alpha \pm iUV^2/2$ 、と実数解 k_j で記述できだが、有限温度になると、この他の spin complex と呼ばれる解が現われる。これは次の様な形で与えられる。

$$\Lambda_\alpha^{n,l} = \Lambda_\alpha^n + i(n+l-2l)UV^2/2, \quad l=1 \sim n, n=1, 2, \dots \infty, \Lambda_\alpha^n: \text{real}, \quad (4-1)$$

この λ の解は各スピンが "bound state" を作る状態に対応している。この spin complex に対する解 $B(k_\alpha^{n,l}) = \lambda_\alpha^{n,l} \pm iUV^2/2$ も有限温度では考慮しなければならない。熱力学ボテンシャルを最小にする様にこれらの角解の分布を決定すると、その結果熱平衡における熱力学ボテンシャルの表式とそれに対する熱力学方程式が得られる。¹²⁾

$$\Omega^i = E_s^i + \frac{1}{2}U + E_d - T \int_{-\infty}^{\infty} \sigma_s^i G(E_i^+) d\lambda - T \int_{-\infty}^{\infty} p_s^i G(-\mathcal{X}) dk \quad (4-2a)$$

$$\mathcal{X}(k) = \mathcal{X}_s(k) + T \int_{-\infty}^{\infty} Q(B(k)-\lambda) [G(E_1^+) - G(E_1^-)] d\lambda, \quad (4-2b)$$

$$E_1^\pm(\lambda) = T Q * G(E_2^\pm) - T \int_{-\infty}^{\infty} B'(k) Q(B(k)-\lambda) G(\pm \mathcal{X}) dk, \quad (4-2c)$$

$$E_n^\pm(\lambda) = T Q * [G(E_{n-1}^\pm) + G(E_{n+1}^\pm)], \quad * \text{は convolution} \quad (4-2d)$$

$$\lim_{n \rightarrow \infty} \frac{E_n^+}{n} = U + 2E_d, \quad \lim_{n \rightarrow \infty} \frac{E_n^-}{n} = H, \quad (4-2e)$$

但し $G(x) = \ln(1 + e^{xT})$, p_s^i , σ_s^i は (3-1) 右辺の 1% のオーダーの項であり、 \mathcal{X}_s は $\mathcal{X}_s = k - \frac{1}{2}U - E_d + 2 \int_{-\infty}^{\infty} (k' - U/2 - E_d)^2 R[B(k) - B(k')] dk'$ で与えられる。

(A) 低温での性質¹²⁾

方程式 (4-2) を任意の温度で解析的に取り扱うことは困難であるが、低温での物理量は解析的に計算することができます。例えば Ω^i を T^2 のオーダーまで計算することにより、電子比熱係数 γ_{imp} の表式が次のように得られる (§5 の計算参照)。

$$\tilde{\gamma}_{imp} = 3V^2 \gamma_{imp} / 4\pi = V^2 / 8 [\sigma^i(a)/\sigma^c(a) + p^i(b)/p^c(b)] \quad (4-3)$$

さらに (3-4) と (4-3) を比較すると $\tilde{\gamma}_{imp}$ は \tilde{x}_m と \tilde{x}_c を用いて:

$$\tilde{\gamma}_{imp} = \frac{1}{2} (\tilde{x}_m + \tilde{x}_c) \quad (4-4)$$

と表わされることがわかる。¹²⁾ これは対称アンターソンモデルに擾動展開を用いて導かれていて⁵⁾ エルミ流体的関係式であるが、任意の U, E_d, H に対してこの関係式は成立する。対称モデルでは、 $H=0$ の場合 \tilde{x}_m, \tilde{x}_c が直ちに形に求められていて、 $\tilde{\gamma}_{imp}$ も直ちに形に求められる。この場合 $W = \tilde{x}_m / \tilde{\gamma}_{imp}$ は $U=0$ の一連問題の値 $W=1$ から U が大きくなるにつれて $S-d$ モデルの Wilson の値 $W=2$ に近づく。 $2 < W < \pi$ 。

(B) 帯磁率及び比熱の温度変化。^{13), 14)}

ここでは (4-2) の方程式を任意の温度で数值的に解いて得られる帯磁率、比熱の結果を次の 2 つの場合に分けて示す。

[1] 対称アンターソンモデル (近藤効果に関する)。

[2] 非対称アンターソンモデル $U \gg |E_d|, V^2$ (強度挙動現象の簡単なモデルとして)。

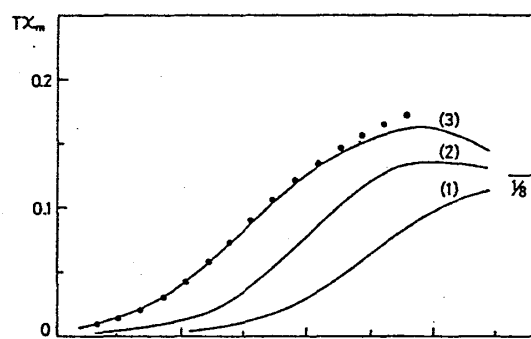
数值計算は方程式(4-2)を適当なところで打ち切り、 E_n に適当な初期値を与え、iteration schemeで実行して、帯磁率に関する結果はくり込み群により得られた結果と良い一致を示している。¹⁰⁾

[1] 対称アンダーソンモデル¹³⁾

対称アンダーソンモデルに対する結果は図1(a)に示されている。帯磁率のグラフを見ると、高温では有効キャリー定数 $T\chi_m$ が $1/8$ の値をとるが、これは不純物の面電荷数 $n_d = 0, 1, 2$ の状態が同等に励起されていることを表している。Uが零の場合、温度の低下に伴い、 $T\chi_m$ は単調に減少し、高温状態から非磁性状態へ移る。一方 Uが有限の時には、TKUの温度領域で $T\chi_m$ が増加しているが、これは局在スピノンが出現し易くなっていることを示している。しかし低温では S-d 交換相互作用による多体効果が効いて $T\chi_m$ はやがて零に近づき、強結合の状態に落ち込む。この低温での振舞は近藤効果に他ならず、黒丸でプロットした S-d モデルの結果とよい一致を示している。¹⁵⁾ Uを大きくしていく時、低温での近藤効果が徐々に出現する様子は(b)の比熱の温度変化にも顕著に現われている。比熱のグラフで Uを大きくしていくに伴う低温側に現われるビーグが近藤効果に対応するもので、 $U/V^2 = 4.0$ では帯磁率も同様、S-d モデルの結果と良く一致している。¹⁵⁾ 比熱に対する磁場の効果を示したもののが図2である。近藤効果によって生じるに低温側のビーグが、磁場の出現によって free spin のショットキー型比熱に近づき、さらに高温側のビーグに重なるように様子が分かる。このことは温度と同様に磁場によっても、多体的ひ束縛基底状態が壊されるとのことである。

[2] 非対称アンダーソンモデル¹⁴⁾

非対称アンダーソンモデル ($U \gg 1E_d, V^2$)に対する結果は図3.4に示されている。 $H=0$ と E_d の値を変えて時の帯磁率、比熱の温度変



(a)

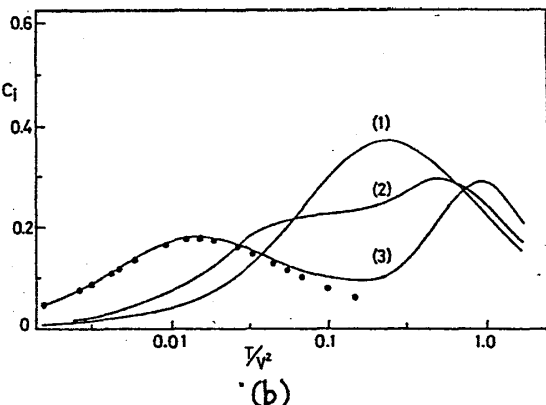


図1: (a) 有効キャリー定数 $T\chi_m$, (b) 比熱 C_i . (1) $U/V^2 = 0$ (2) 2.0 (3) 4.0. 黒丸は S-d モデルの結果。

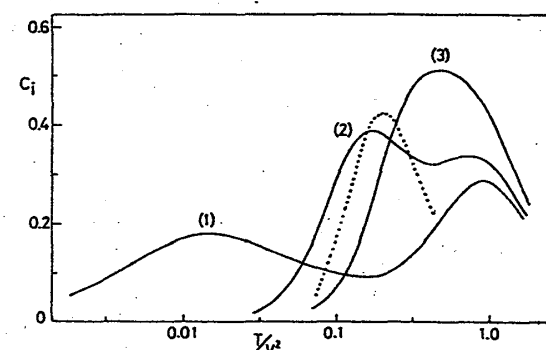


図2: 比熱の磁場による変化
 $U/V^2 = 4.0$ (1) $H/V^2 = 0$, (2) 0.5
(3) 1.0 縦軸 free spin の
ショットキービー熱と $H/V^2 = 0.5$
に対するプロット。

化は図3にプロットしてある。高温領域 $T \gg U$ では対称モデルの場合と同様に、あらゆる状態が同等に励起され、 $TX_m \sim 1/8$, $C_i \sim 0$ となる。この場合は effective ネイトル子-正孔対称性が成立しており $\langle n_d \rangle \sim 1$ となる。温度を下げてゆくと $n_d = 2$ の configuration space への励起が徐々に抑えられ、“磁数換算領域”と呼ばれる温度領域に入り、 $n_d = 1$ の温度領域では $n_d = 0$ と $n_d = 1$ に対応する状態が同等に抑制される。 $TX_m \sim 1/6$, $C_i \sim 0$ ($\langle n_d \rangle \sim 2/3$) という値で持続づけられる。この高温→磁数換算領域の転移 (gradual) に対応して、比熱にショットキー的振舞がみられる。温度がさらに低くなると、不純物レベル E_d の値により、物理的性質がかなり異なる。 E_d がフェルミ面よりかなり深く位置する場合には(曲線(1)) 磁数換算領域から一旦局在モーメントが出現して状態に移り、さらに低温で近藤効果を示す。これに対応して TX_m は $1/6 \rightarrow 1/4 \rightarrow 0$ と変化し、比熱は低温に 2つのピークをもつことになる(この場合基底状態は $\langle n_d \rangle \sim 1$ の nearly integral valence)。一方 E_d がフェルミ面に近い場合(曲線(2))には局在モーメントは出現せず、磁数換算領域から直接 非磁性状態への転移が起こる。この場合 TX_m は $1/6$ 近くからすばやく零に近づき、比熱はこの転移に対応してやはりショットキー型のピークを示している。この時の基底状態は混合原子価状態になっている。比熱の磁場依存性に対する結果は図4に示してある。

図4: 比熱の
磁場依存性。
 $U/N^2 = 10^3 \pi$
(a) $E_d/N^2 = -10 \pi$
(b) $= 0$.

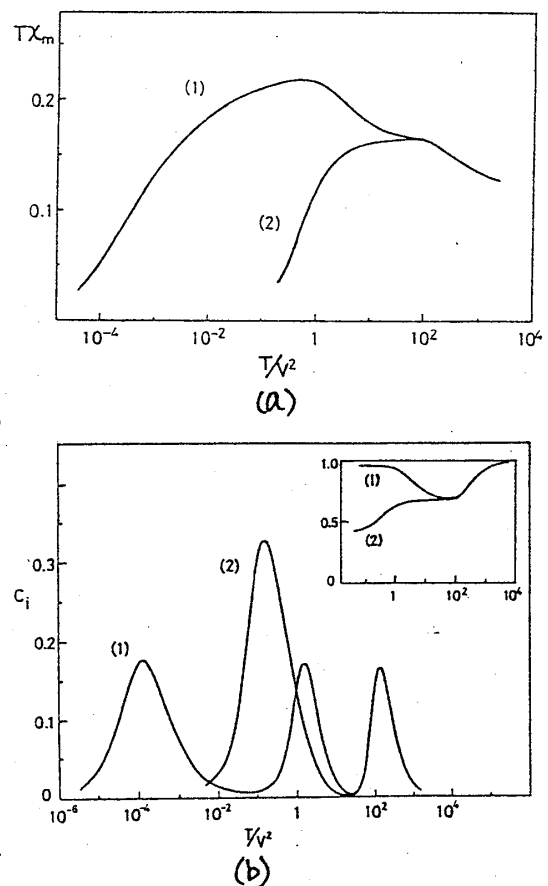
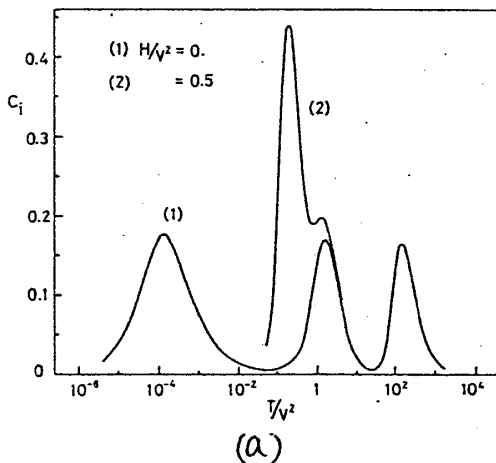
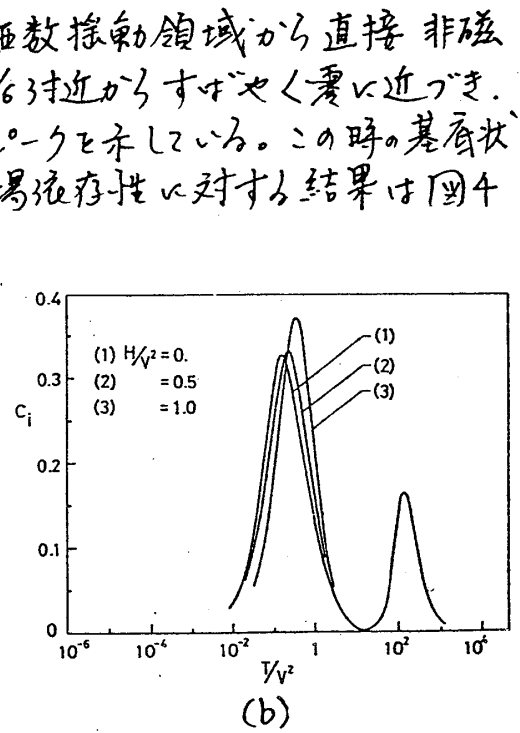


図3: (a) 有効キエリ一定数 TX_m (b) 比熱 C_i 。
 $UN^2 = 10^3 \pi$, (1) $E_d/N^2 = -10 \pi$
(2) 0. (b) \times 挿入されている図は
局在電子数 $\langle n_d \rangle$ の温度変化。



§5 縮退アンターソンモデル^{(16), (18)}

§4までの議論は不純物軌道に縮退はないものと仮定して。この節では不純物原子内での軌道縮退の効果をとり込んで次の様な縮退アンターソンモデルに対し熱力学方程式を導き、低温での電子比熱について議論する。

$$\begin{aligned} \mathcal{H} = & \sum_{k,m} \epsilon_k C_{km}^+ C_{km} + \sum_{k,m} V_k (C_{km}^+ C_{fm} + C_{fm}^+ C_{km}) \\ & + \epsilon_f \sum_m C_{fm}^+ C_{fm} + U \sum_{m \neq m'} C_{fm}^+ C_{fm} C_{f'm'}^+ C_{f'm'} \end{aligned} \quad (5-1)$$

但し、 $U \rightarrow \infty$ 。ここで C_{fm}^+ は不純物 f 電子に対する生成演算子であり、 m と j は $(2J+1)$ 重に縮退して $4f^1$ configuration の Hund rule 基底状態を考える ($-J \leq m \leq J$)。伝導電子の状態は部分波を用いて表示してあり、その生成演算子が C_{km}^+ である。§4まで J = $\frac{1}{2}$ アンターソンモデルに対しては、U が任意の値で厳密解が得られるが、この縮退アンターソンモデルに対してベーネ反説の方法が適用できるために U $\rightarrow \infty$ という強相関の条件が必要となる。⁽¹⁶⁾ この縮退強相関の条件はアンターソンモデルで過渡接動問題に適用する際に広く使われているものであり、(5-1) のハミルトニアの熱力学的性質から、希土類不純物あるいは化合物の過渡接動現象に対して有益な情報を（特に軌道縮退の効果について）が得られる期待される。

§2で付加したものと同じ仮定 ① $V_k = V$ 、② $\epsilon_k = k$ の下で (5-1) に対するベーネ・ヤン型の基礎方程式は Schlottmann により得られており⁽¹⁶⁾。その表式は (2-2) の方程式に $U \rightarrow \infty$ の条件をつけて Sutherland の方法⁽¹⁷⁾でスピニの大きさを $\frac{1}{2} \rightarrow J$ と拡張したもので与えられる：

$$\exp(i k_p^{(i)} L) t(k_p^{(i)} - \epsilon_f) = \prod_{g=1}^{N_j} t(k_p^{(i)} - k_g^{(i)}) , \quad (5-2)$$

$$-\prod_{g=1}^{N_j} t((k_p^{(i)} - k_g^{(i)})/2) = \prod_{r=1}^{N_{j+1}} t(k_p^{(i)} - k_r^{(j+1)}) \prod_{s=1}^{N_{j+1}} t(k_p^{(i)} - k_s^{(j+1)}), \quad 1 \leq j \leq 2J+1,$$

但し $t(x) = (x - iC)/(x + iC)$ で $C = V^2/2$ と定義していく。ここで N_j は系の全電子数、 $N_j - N_{j+1}$ (但し $N_{2J+2} = 0$) は角運動量の z 成分が $m = J-j+1$ で与えられる電子の数を表している。(2J+1) 重縮退系に拡張したことにより、(2-2) 式の人のかわりに $2J+1$ の度数 $k_p^{(i)}$ ($2 \leq j \leq 2J+1$) が新しく現われている。エネルギーは §4までと同様 $E = \sum k_p^{(i)}$ の表式で与えられる。

基底状態の方程式は文献⁽¹⁶⁾に与えられていて、ここでは (5-1) に対する熱力学方程式を導く。方程式 (5-2) を用いて §3で行なったと同様の方法で解の分類を行へ、熱平衡における不純物部分の熱力学的ポテンシャルの表式を求めると⁽¹⁸⁾

$$\Omega^i = -T \sum_{j=1}^{2J+1} \int_{-\infty}^{\infty} \Delta_j(k) G(-\epsilon_0^{(i)}) dk \quad (5-3)$$

但し $\Delta_j(k) = (\delta C / \pi) / [(k - \epsilon_f)^2 + (\delta C)^2]$ 。ここで「擬エネルギー」 $\epsilon_0^{(i)}(k)$ は次の方

程式の解で与えられる：

$$E_n^{(j)}(k)/T = S_J * [G(E_n^{(j-1)}) + G(E_n^{(j+1)}) - G(-E_{n+1}^{(j)}) - G(-E_{n-1}^{(j)})], \quad \begin{matrix} 1 \leq j \leq 2J \\ n=0,1,2,\dots,\infty \end{matrix} \quad (5-4a)$$

$$E_0^{(2J+1)}/T = k/T + R_J * G(E_0^{(2J+1)}) + \sum_{j=1}^{2J} P_j * G(-E_0^{(j)}) \quad (5-4b)$$

$$\lim_{n \rightarrow \infty} E_n^{(j)}/n = H$$

ここで S_J, R_J, P_j はフーリエ空間で $\frac{1}{2} \operatorname{sech}(cw), e^{-c\omega} \sinh(2J\omega)/\sinh((2J+1)c\omega), \sinh(j\omega)/\sinh((2J+1)c\omega)$ で与えられる関数であり、境界条件として $G(-E_n^{(2J+1)}) = G(-E_0^{(0)}) = G(E_n^{(0)}) = 0$ を付加してある。 $(5-3), (5-4)$ を用いることにより、ハミルトニアン $(5-1)$ の熱平衡における物理量の計算を実行することができる。

(A) S-d limit

不純物レベル E_f がエネルギー面より十分深い場合には $(5-4b)$ の方程式は $(5-4a)$ と decouple し、電荷運動を記述している $E_0^{(2J+1)}$ は温度を含まない関数として求まる。このことは S-d 极限で電荷運動が抑えられてスピントンに属する自由度のみが熱的反応起きたることに対応している。この場合 $E_0^{(2J+1)}$ は $(5-4a)$ の方程式に known function として入り込み、この値が S-d 极限での近藤温度 T_K の表式を決定する。実際 T_K を見積もると、 $T_K = \text{const.} \cdot \exp[-\pi E_f/(2J+1)c]$ と求まり。 $(5-4a)$ の方程式は Cogblin-Schrieffer モデル ($SU(2J+1)$ S-d モデル) の方程式と一致する。¹⁹⁾ Cogblin-Schrieffer モデルに関する $(5-4a)$ の方程式が任意温度 ($H=0$) で解かれ、比熱・磁率が求められてる。²⁰⁾

(B) 低温での性質

任意温度での $(5-4)$ の解析的取り扱いは困難であるが、§4 でも述べた様に低温での物理量は解析的に求めることができ。上記の擬エネルギー $E_I^{(j)}$ と $E_C^{(j)} \sim \epsilon_j + T^2 \gamma_j$ と T^2 まで展開すると、 $\epsilon_j(k)$ は k の単調増加関数で、さらにある値 Q_j (いわゆるフェルミレベル) で $\epsilon_j(Q_j) = 0$ となることが分かる。低温での性質はこの Q_j 附近の関数の値により決定される。このことに注意して Ω^I を T^2 までべき展開することにより電子比熱係数 γ が Q_j をパラメータとして次の様に求まる：¹⁸⁾

$$\gamma = \frac{\pi}{6} \sum_{j=1}^{2J+1} P_I^{(j)}(Q_j) / P_C^{(j)}(Q_j), \quad (5-5a)$$

ここで P は次の方程式を満足する関数である。

$$\sum_{l=1}^j \sum_{i=l}^{2J+1} \int_{-\infty}^{Q_j} \alpha_{i+j-2l}(k-k') P_I^{(i)}(k') dk' = \Delta_j(k) \quad 1 \leq j \leq 2J+1 \quad (5-5b)$$

$$\sum_{l=1}^j \sum_{i=l}^{2J+1} \int_{-\infty}^{Q_j} \alpha_{i+j-2l}(k-k') P_C^{(i)}(k') dk' = \frac{i}{2\pi}$$

但し $\alpha_n(k) = (nc/\pi)/(k^2 + (nc)^2)$ 。“フェルミレベル” Q_j は $\epsilon_j(Q_j) = 0$ の条件で $P_C^{(j)}$ を表現して次式

$$\int_{-\infty}^{Q_j} P_c^{(j)}(k) dk = H/2\pi, \quad 1 \leq j \leq 2J, \quad \sum_{j=1}^{2J+1} \int_{-\infty}^{Q_j} P_c^{(j)}(k) dk = N_c/L, \quad (5-6)$$

から決定される。ここで $P_I^{(j)}$ ($P_c^{(j)}$) は絶対零度における不純物部分 (伝導電子部分) の分布関数に他ならぬことに注意すると、絶対零度の物理量自 $P_I^{(j)}$ ($P_c^{(j)}$) を用いて表示できる。3列えず帶磁率 χ_m および電荷感受率 χ_c は ($H=0$)

$$\chi_m = \frac{(J+1)(2J+1)}{12\pi} \sum_{j=1}^{2J} P_I^{(j)}(Q_j) / P_c^{(j)}(Q_j), \quad (5-7)$$

$$\chi_c = \frac{2J+1}{2\pi} P_I^{(2J+1)}(Q_{2J+1}) / P_c^{(2J+1)}(Q_{2J+1}),$$

で与えられる。 $(5-5a)$ と $(5-7)$ を比較すると、電子比熱係数 γ は χ_m と χ_c を用いて

$$\gamma = \frac{2\pi^2}{(J+1)(2J+1)} \chi_m + \frac{\pi^2}{3(2J+1)} \chi_c \quad (5-8)$$

と表示でき、エルミ流体的関係式 $(4-4)$ を縮退系に拡張したもののが得られる。 $(\chi_m$ と χ_c の具体的な表式は文献 16 を参照)。§4 で議論した $W = \chi_m / \gamma$ はこの場合、不純物レベル E_f の位置により、 $(J+1)(2J+1)/2\pi^2$ [s-d limit] や $J(J+1)/\pi^2$ (f レベルがエルミ面より十分上方) まで変化り得ることが分かる。s-d 極限での値 $(J+1)(2J+1)/2\pi^2$ は generalized Wilson's ratio と呼ばれている!¹⁹⁾

ここで定式化した熱力学方程式と実験との対比、さらに軌道縮退の効果をより明確にするためには、 $(5-4)$ の方程式を任意の温度で取り扱う必要がある。これについて計算を実行中である。

§6 おわりに

ここではベーテ仮説によるアンダーソンモデルの厳密解とその熱力学的性質を中心にして述べてきた。この方法によつて熱平衡における種々の物理量の定量的な計算が可能となるので、今後実験結果との具体的な対比が重要な課題となる。特に最近話題とは、この希土類化合物の酒石酸効應現象を single impurity のモデルがどの程度まで説明し得るのかという問題が興味深いと思われる。これに関する限り、縮退アンダーソンモデルの有限温度の定量的な取り扱いからも有益な情報を得らんと考えられる。さらに実験とのより広範な対比を行うために、有限温度の電気抵抗、その他相関関数の定式化が望まれる。この問題はベーテ仮説の方法論の拡張にもつながる問題である。文献

- 1) P.W.Anderson: Phys. Rev. 124 (1961) 41.
- 2) P.B.Wiegmann: Phys. Lett. 80A (1980) 163.
- 3) N.Kawakami and A.Okiji: Phys. Lett. 86A (1981) 483.
- 4) N.Kawakami and A.Okiji: J. Phys. Soc. Jpn. 51 (1982) 1145, 2043.
P.B.Wiegmann and A.M.Tsvelick: JETP Lett. 35 (1982) 120.
A.Okiji and N.Kawakami: Solid State Commun. 43 (1982) 365,
: J. Phys. Soc. Jpn. 51 (1982) 3192.
- P.B.Wiegmann, V.M.Filyov and A.M.Tsvelick: JETP Lett. 35 (1982) 92.

- 5) K.Yamada: Prog. Theor. Phys. 53(1975)970.
 6) K.Yosida and A.Yoshimori: Magnetism V(1973, Academic Press)253.
 7) K.G.Wilson: Rev. Mod. Phys. 47(1975)773.
 8) P.B.Wiegmann and A.M.Tsvelick: J.Phys. C16(1983)2281.
 9) F.D.M.Haldane: J.Phys. C11(1978)5015.
 10) H.R.Krishna-murthy, J.W.Wilkins and K.G.Wilson:
 Phys. Rev. B21(1980)1003,1044.
 11) F.D.M.Haldane: Phys. Rev. Lett. 40(1978)416.
 12) N.Kawakami and A.Okiji: Solid State Commun. 43(1982)467.
 : J. Phys. Soc. Jpn. 52(1983)1119.
 V.M.Filyov, A.M.Tsvelick and P.B.Wiegmann: Phys. Lett. 89A(1982)157.
 A.M.Tsvelick and P.B.Wiegmann: Phys. Lett. 89A(1982)368.
 13) A.Okiji and N.Kawakami: Phys. Rev. Lett. 50(1983)1157.
 14) N.Kawakami and A.Okiji: Phys. Lett. 98A(1983)54,
 : Phys. Rev. Lett. 51(1983)2011.
 A.Okiji and N.Kawakami: J. Appl. Phys. in press.
 15) N.Andrei, K.Furuya and J.H.Lowenstein: Rev. Mod. Phys. 55(1983)331.
 16) P.Schlottmann: Phys. Rev. Lett. 50(1983)1697.
 17) B.Sutherland: Phys. Rev. Lett. 20(1968)98.
 18) N.Kawakami, S.Tokuono and A.Okiji: J. Phys. Soc. Jpn. in press.
 19) A.M.Tsvelick and P.B.Wiegmann: J. Phys. C15(1982)1707.
 20) V.T.Rajan: Phys. Rev. Lett. 51(1983)308.

* アンゲーリンモデルの厳密解の日本語の解説として.

興地斐男: 固体物理 18(1983)59,

興地斐男, 川上則雄: 日本物理学会誌 38巻, 9号(1983)716.

があります。